

Última actualización de la información: Marzo 2025

### Configuraciones productos: RZ95.G0

RZ95.G0: Módulo para raíl Superrail 48V - BLE Casambi - UGR<19 - L=916 - - 7.5W 892.5lm - 2700K - CRI 90 - Blanco/Blanco Transparente



### Código producto

RZ95.G0: Módulo para raíl Superrail 48V - BLE Casambi - UGR<19 - L=916 - - 7.5W 892.5lm - 2700K - CRI 90 - Blanco/Blanco Transparente

### Descripción

Producto para iluminación lineal con LED monocromático 2700K CRI90 con adaptador para instalación en raíl Superrail 48V. Cuerpo de iluminación UGR<19 con luminancia controlada ( $L \leq 3000 \text{cd/m}^2$ ) ideal para espacios donde se utilizan videoterminales. Óptica Space Opti-Diamond disponible en versión con carcasa blanca (blanco transparente) o negra (negro transparente). Cuerpo principal de aluminio extruido versión Frameless. Sistema rápido de conexión eléctrica del adaptador sobre raíl sin necesidad de herramientas. El adaptador de material termoplástico incluye un circuito controlador CC/CC con protocolo Bluetooth. La tecnología integrada «Bluetooth Casambi» permite regular de manera independiente cada uno de los módulos luminosos incluidos en el raíl. Tecnología Bluetooth Low Energy (Casambi). Frecuencia 2.4 GHz BLE Posibilidad de control de la luminaria mediante la aplicación Casambi que habilita las funciones de encendido y apagado, regulación y activación de escenarios. La aplicación está disponible en Apple Store y Google Play Store. Se puede integrar en la red "Mesh" del sistema para gestionar múltiples luminarias. Actualización OTA (over the air) mediante aplicación. Beacon integrado y activable mediante Smart Light Control (iBeacon) que habilita las funciones: notificación emergente y navegación en interiores-orientación.

### Instalación

Fijación mecánica con adaptador en raíl 48V sin necesidad de herramientas. Distancia máx. (\*) luminaria-luminaria 8 m; distancia máx. (\*) teléfono móvil-luminaria 20 m.

### Colores

Blanco/Blanco Transparente (G0)

### Peso (Kg)

0.52

### Montaje

Low voltage track

### Equipo

Conexión directa sobre raíl 48 V. Unidad de alimentación del raíl a pedir por separado. Posibilidad de control de la luminaria con tecnología Bluetooth (Casambi).

### Notas

(\*) La distancia máxima para instalaciones Bluetooth depende de la presencia de obstáculos físicos como, por ejemplo, paredes o paneles de metal y de la distribución del sistema. Se recomienda realizar una prueba de ensayo en el lugar de instalación. Disponibles accesorios técnicos y antideslumbramiento; posibilidad de instalación combinada de dos accesorios internos.

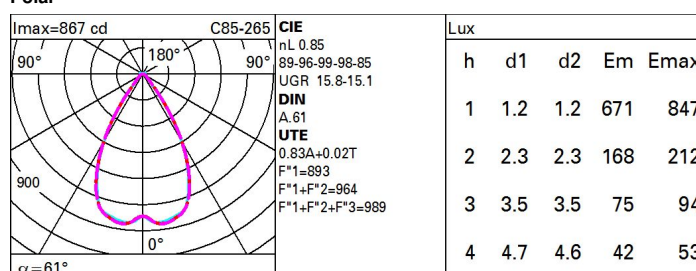
Se conforma con EN60598-1 y regulaciones pertinentes



### Datos técnicos

|   |      |                                      |                                 |
|---|------|--------------------------------------|---------------------------------|
| Im de sistema:  | 893  | Life time (vida útil) LED 1:         | > 50,000h - L90 - B10 (Ta 25°C) |
| W de sistema:   | 7.5  | Voltaje [Vin]:                       | 48                              |
| Im de la fuente:  | 1050 | Código de lámpara:                   | LED                             |
| W de la fuente:   | 6.3  | Número de lámparas por grupo óptico: | 1                               |
| Eficiencia luminosa (Im/W, valor del sistema):              | 119  | Código ZVEI:                         | LED                             |
| Im en modo emergencia:                                      | -    | Número de grupos ópticos:            | 1                               |
| Flujo total de emisión en un ángulo de 90° o superior [Lm]: | 17   | Corriente LED [mA]:                  | 39                              |
| Light Output Ratio (L.O.R.) [%]:                            | 85   | Factor de potencia:                  | Ver Hoja de instrucciones       |
| CRI (mínimo):   | 90   | % mínimo de dimerización:            | 1                               |
| Temperatura de color [K]:                                   | 2700 | Control:                             | Casambi                         |
| MacAdam Step:   | 3    |                                      |                                 |

### Polar



# Coefficientes de uso

| R    | 77 | 75 | 73 | 71 | 55 | 53 | 33 | 00 | DRR |
|------|----|----|----|----|----|----|----|----|-----|
| K0.8 | 72 | 67 | 63 | 61 | 66 | 63 | 62 | 59 | 70  |
| 1.0  | 76 | 71 | 68 | 65 | 70 | 67 | 67 | 63 | 76  |
| 1.5  | 81 | 77 | 74 | 72 | 76 | 73 | 72 | 69 | 83  |
| 2.0  | 84 | 81 | 79 | 77 | 80 | 78 | 77 | 73 | 88  |
| 2.5  | 86 | 84 | 82 | 80 | 82 | 80 | 79 | 76 | 91  |
| 3.0  | 87 | 85 | 84 | 83 | 84 | 82 | 81 | 78 | 94  |
| 4.0  | 88 | 87 | 86 | 85 | 85 | 84 | 83 | 80 | 96  |
| 5.0  | 89 | 88 | 87 | 87 | 86 | 85 | 84 | 81 | 97  |

## Curva límite de luminancia



## Diagrama UGR

| Corrected UGR values (at 1050 lm bare lamp luminous flux)     |      |                     |      |      |      |      |                   |      |      |      |      |
|---|------|---------------------|------|------|------|------|-------------------|------|------|------|------|
| Riflect.:<br>ceil/cav<br>walls<br>work pl.<br>Room dim<br>x y |      | 0.70                | 0.70 | 0.50 | 0.50 | 0.30 | 0.70              | 0.70 | 0.50 | 0.50 | 0.30 |
|   |      | 0.50                | 0.30 | 0.50 | 0.30 | 0.30 | 0.50              | 0.30 | 0.50 | 0.30 | 0.30 |
|   |      | 0.20                | 0.20 | 0.20 | 0.20 | 0.20 | 0.20              | 0.20 | 0.20 | 0.20 | 0.20 |
|   |      | viewed<br>crosswise |      |      |      |      | viewed<br>endwise |      |      |      |      |
| 2H  | 2H   | 14.0                | 14.7 | 14.3 | 14.9 | 15.2 | 14.3              | 14.9 | 14.6 | 15.2 | 15.5 |
|   | 3H   | 14.5                | 15.0 | 14.8 | 15.4 | 15.7 | 14.3              | 14.9 | 14.6 | 15.2 | 15.5 |
|   | 4H   | 14.8                | 15.3 | 15.1 | 15.6 | 16.0 | 14.3              | 14.8 | 14.6 | 15.1 | 15.5 |
|   | 6H   | 15.1                | 15.6 | 15.5 | 15.9 | 16.3 | 14.2              | 14.7 | 14.6 | 15.1 | 15.5 |
|   | 8H   | 15.3                | 15.8 | 15.7 | 16.1 | 16.5 | 14.2              | 14.7 | 14.6 | 15.1 | 15.4 |
|   | 12H  | 15.5                | 16.0 | 15.9 | 16.4 | 16.8 | 14.2              | 14.6 | 14.6 | 15.0 | 15.4 |
| 4H  | 2H   | 14.0                | 14.6 | 14.4 | 14.9 | 15.2 | 14.8              | 15.3 | 15.1 | 15.7 | 16.0 |
|   | 3H   | 14.6                | 15.1 | 15.0 | 15.4 | 15.8 | 14.9              | 15.4 | 15.3 | 15.8 | 16.1 |
|   | 4H   | 15.0                | 15.4 | 15.5 | 15.8 | 16.3 | 15.0              | 15.4 | 15.4 | 15.8 | 16.2 |
|   | 6H   | 15.5                | 15.9 | 16.0 | 16.3 | 16.8 | 15.0              | 15.4 | 15.5 | 15.8 | 16.3 |
|   | 8H   | 15.8                | 16.1 | 16.3 | 16.6 | 17.1 | 15.1              | 15.4 | 15.5 | 15.8 | 16.3 |
|   | 12H  | 16.2                | 16.5 | 16.7 | 17.0 | 17.5 | 15.1              | 15.4 | 15.5 | 15.8 | 16.3 |
| 8H  | 4H   | 15.1                | 15.4 | 15.6 | 15.9 | 16.4 | 15.3              | 15.6 | 15.7 | 16.0 | 16.5 |
|   | 6H   | 15.8                | 16.0 | 16.3 | 16.5 | 17.0 | 15.4              | 15.7 | 15.9 | 16.2 | 16.7 |
|   | 8H   | 16.2                | 16.4 | 16.7 | 16.9 | 17.5 | 15.5              | 15.8 | 16.1 | 16.3 | 16.8 |
|   | 12H  | 16.8                | 17.0 | 17.3 | 17.5 | 18.1 | 15.7              | 15.9 | 16.2 | 16.4 | 16.9 |
| 12H   | 4H   | 15.1                | 15.4 | 15.6 | 15.9 | 16.4 | 15.4              | 15.7 | 15.8 | 16.1 | 16.6 |
|   | 6H   | 15.8                | 16.0 | 16.3 | 16.5 | 17.1 | 15.6              | 15.8 | 16.1 | 16.3 | 16.9 |
|   | 8H   | 16.3                | 16.5 | 16.8 | 17.0 | 17.6 | 15.7              | 15.9 | 16.3 | 16.5 | 17.0 |
| Variations with the observer position at spacing:             |      |                     |      |      |      |      |                   |      |      |      |      |
| S =   | 1.0H | 1.8 / -1.1          |      |      |      |      | 2.3 / -1.7        |      |      |      |      |
|   | 1.5H | 3.5 / -1.3          |      |      |      |      | 4.4 / -2.0        |      |      |      |      |
|   | 2.0H | 5.1 / -1.4          |      |      |      |      | 6.1 / -2.1        |      |      |      |      |